

# 目 录

## 第一 章 向量概念

一、向量概念及心电向量环的形成	( 1 )
二、爱氏三角形及布尔基氏三角形	( 3 )
三、导联向量及多导联向量概念	( 6 )

## 第二 章 心电向量图的导联体系

一、一般概念	( 12 )
二、直交导联体系	( 12 )
三、校正直交导联体系	( 16 )
四、心电向量图的标记方法	( 19 )
五、心电向量图描记原理	( 20 )
六、心电向量图机的进展	( 22 )
七、心电向量图的临床应用	( 23 )

## 第三 章 心脏的激动顺序及 P, QRS 及 T 向量环

一、心房激动及 P 向量环	( 24 )
二、心室激动及 QRS 向量环	( 26 )
三、心室复极化及 T 向量环	( 31 )

## 第四 章 名词学及分析方法 标格导联的衍生

一、名词学	( 32 )
二、定性分析	( 34 )
三、定量分析	( 35 )
四、从心电向量图推导标格心电图	( 39 )

## 第五 章 正常心电向量图

一、 $P_{sE}$ 环	( 45 )
二、 $QRS_{sE}$ 环	( 46 )
三、ST 向量	( 49 )
四、 $T_{sE}$ 环	( 53 )
五、空间 QRS—T 角	( 54 )
六、U 环	( 55 )
七、正常心电向量图的变异	( 55 )

## 第六 章 左心室肥厚

一、 $QRS_{sE}$ 环	( 56 )
二、 $QRS_{sE}$ 环的平面投影	( 57 )
三、左室肥厚的分型	( 60 )
四、左室肥厚的心电向量图诊断标准	( 61 )

五、ST向量及Ts <sup>E</sup> 环	( 62 )
<b>第七章 右心室肥厚</b>	
一、Chou氏分型	( 67 )
二、Kennedy分型	( 77 )
三、柏原信夫分型	( 79 )
双侧心室肥厚	( 79 )
<b>第八章 左束支传导阻滞</b>	
一、左束支传导阻滞的激动顺序	( 81 )
二、左束支传导阻滞的心电向量图表现	( 82 )
三、不完全性左束支传导阻滞	( 85 )
四、左束支传导阻滞合并半阻滞或心室肥厚时的心电向量图改变	( 87 )
<b>第九章 右束支传导阻滞</b>	
一、右束支传导阻滞的激动顺序	( 88 )
二、右束支传导阻滞的心电向量图改变	( 89 )
三、右束支传导阻滞的类型	( 92 )
四、不完全性右束支传导阻滞	( 94 )
五、右束支传导阻滞合并心室肥厚	( 95 )
<b>第十章 半阻滞及双束支阻滞</b>	
半阻滞	( 97 )
一、左前半阻滞	( 97 )
二、左后半阻滞	( 101 )
三、左间隔分支阻滞	( 104 )
双束支阻滞	( 105 )
一、右束支传导阻滞合并左前半阻滞	( 105 )
二、右束支传导阻滞伴左后半阻滞	( 107 )
<b>第十一章 冠心病</b>	
一、早期冠心病的心电向量图诊断	( 110 )
二、心肌梗塞的心电向量图诊断	( 112 )
(一)心肌梗塞的分类	( 114 )
(二)心肌梗塞的诊断标准	( 127 )
(三)心肌梗塞合并传导失常	( 128 )
(四)梗塞周围阻滞	( 130 )
(五)心肌损伤及缺血	( 131 )
<b>第十二章 心房增大</b>	
一、右房增大的心电向量图改变	( 137 )
二、左房增大的心电向量图改变	( 138 )
三、左、右心房增大的心电向量图改变	( 140 )
<b>第十三章 慢性肺原性心脏病、肺栓塞</b>	
慢性肺源性心脏病	

一、慢性肺心病的心电向量图改变与病理改变的关系，以及其演变规律	( 142 )
二、在慢性肺心病的心电向量图诊断方面，下列问题值得提出商讨	( 143 )
三、对慢性肺心病心电向量图诊断标准的建议：慢性肺心病的心电向量图诊断 标准，包括定性标准以及若干定量标准	( 147 )
肺栓塞	( 149 )

#### **第十四章 预激症候群**

一、预激症候群的病因及产生机制	( 151 )
二、预激症候群的心电向量图表现	( 152 )
三、预激症候群合并束支传导阻滞	( 156 )
四、预激症候群与心肌梗塞的鉴别	( 158 )

#### **第十五章 儿童心电向量图**

一、心电向量图的演变过程	( 159 )
二、右心室容积负荷过重	( 160 )
三、右心室压力负荷过重	( 163 )
四、左心室收缩期负荷过重	( 165 )
五、左心室容积负荷过重	( 166 )
六、双侧心室容积负荷过重伴压力负荷过重或并无压力负荷过重	( 167 )
七、其他疾病	( 169 )
八、一些特殊的儿科问题	( 170 )
九、完全性右束支传导阻滞	( 172 )

#### **第十六章 心电向量图常用正常数据及诊断标准(参考资料)**

一、常用正常数据	( 173 )
二、常用诊断标准	( 174 )

# 第一章 向量概念

## 一、向量概念及心电向量环的形成

一切有生命力的生物细胞，例如心肌细胞、脑细胞、骨骼肌细胞等，在活动状态下均可产生电流，而在静止状态下，一般无电流产生。心脏在发生机械性收缩动作之前，先发生电激动。在每个心动周期内，心房和心室的电激动产生电势，使周围组织产生电场，可以扩展到体表，在人体表面各个部位产生电位差，心电图就是纪录各部位心脏电激动的电位改变。就电学意义来看，心脏的作用就像一个发电机，人体则作为容积导体。心脏与人体相比，在比例上较小，因此可将心脏视作一点状发电机。心脏在激动过程中，产生连续不断的瞬间电动势。从空间观点来说，心脏在每一瞬间内，其电动势变化都表现出一定的方向及大小，因此瞬间电动势具有向量性质，称瞬间向量。向量可用一箭矢表示，箭矢的长度表示电动势的大小，箭矢的方向表示电动势在空间的方向（图1.1）。

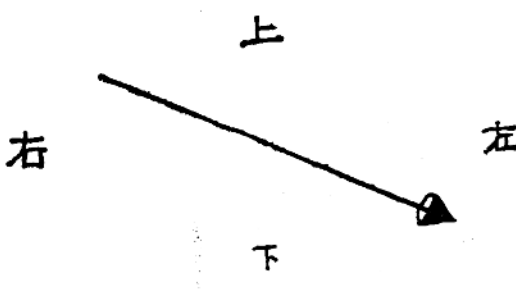


图 1.1

如果将每一个心动周期内所连续产生的无数个瞬间向量，按发生的顺序连接起来，则形成环形，称为空间心电向量环。它能完整的表示一个心动周期内各个瞬间向量的方向、大小、运行程序（移动方向）及运行速度的快慢。图1.2为一简化的模式图，仅画出12个瞬间向量为代表。连接每个瞬间向量的末端，即构成模拟空间心电向量环（图1.2）。

图 1.1：空间电动势可用向量形式以箭矢来表示，箭矢的长短表示向量的大小，箭矢的方向表示向量的方向。图中所画向量的指向是向下、向左及向后。图中箭矢画成前黑后白，表示指向朝后。

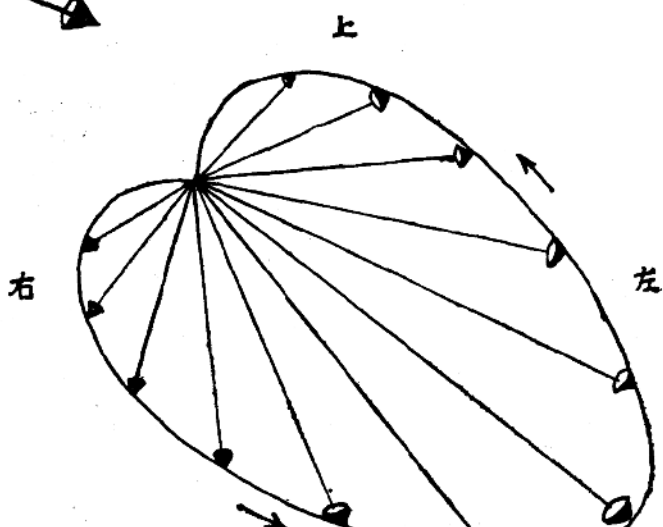


图 1.2

图 1.2：顺序连接许多连续发生的瞬间向量的末端，构成空间向量环。为了简化，仅画出12个向量。向量环的指向，起始时向右向前，环的离心支转向下，在运行中，向量的振幅

加大，同时方向发生改变，从向右逐渐转为向左，从向前逐渐转为向后。环的归心支指向左后，振幅逐渐减小，同时方向发生改变，逐渐由向下转为向上。图中全黑箭头表示指向朝前，前黑后白箭头表示指向朝后。

纪录空间心电向量环，技术上存在以下几点困难：

1. 作为容积导体，人体具有不规则的境界表面。
2. 人体各部组织对电的传导性不等。
3. 心脏与胸腔相比，是一个相当大的器官，而且是一个空腔性器官，其电动力是从心脏各个部位，基本上是沿心壁产生，实非一个点状发电机。
4. 空间心电向量环是一个位于空间的立体图形，用平面图纸描绘立体图形是困难的，以往曾有人用金属丝编制空间心电向量环，费时费事且不准确。因此常用的方法是描记平面心电向量图，或简称为心电向量图。心脏是一个立体形结构，它所产生的电动力，传向四面八方，具有上下、左右及前后三个面的关系。上下面通常称额面或前额面，左右面通常称横面或水平面，前后面通常称侧面或矢状面。这三个面互相垂直，心电向量图就是立体的空间心电向量环在这三个平面上的投影（图1.3）。

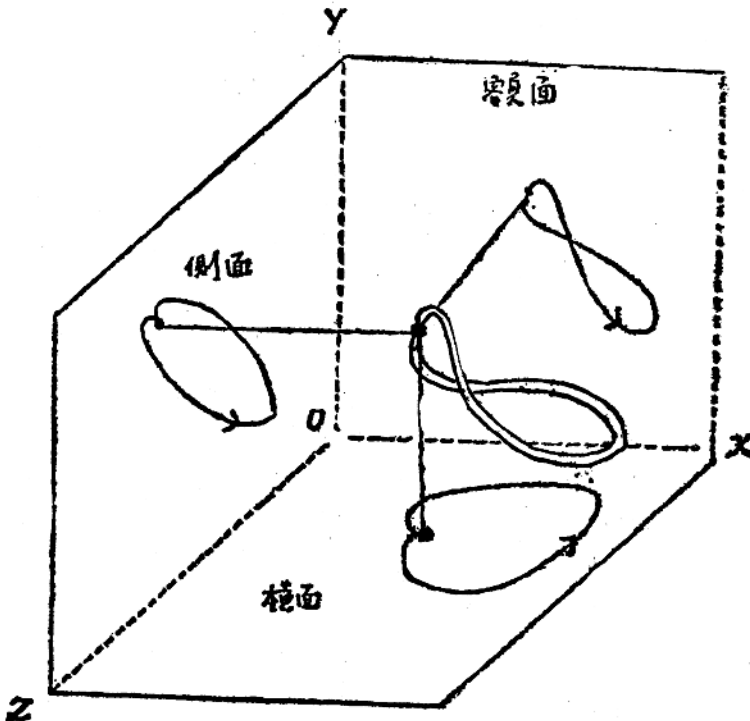


图 1.3

图1.3：空间心电向量环在额面、横面上及侧面上的投影模型示意图。

- ox：代表左右方向的横轴（水平轴）即x轴。
- oy：代表上下方向的纵轴（垂直轴）即y轴。
- oz：代表前后方向的前后轴（矢状轴）即z轴。
- ox—oy（横轴——纵轴）组成额面。

$ox$ — $oz$ （横轴——前后轴）组成横面。

$oy$ — $oz$ （纵轴——前后轴）组成侧面。

对于第1.2.3点困难，不少学者进行了大量的实验研究，希望了解心脏这个空腔形器官各部位产生的电动势是怎样综合的，人体这个复杂的容积导体，对心脏这样的“发电机”所产生的电动势是如何传播的，从而建立起一套完整的理论概念，并设计出一套更切合实际的纪录方法，以表达心脏电学活动的真实情况。

## 二、爱氏三角形及布尔基氏三角形

1907年 Einthoven 等提出了 Einthoven 氏三角形学说，其要点如下：

1. 心脏的电激动过程，可以比作一对单一的电偶，它具有可变的方向及强度，位于人体体腔的中央。

2. 人体体腔是一个均匀导电的，很大的球形容积导体。

3. 右肩、左肩及左下肢三点距离相等，构成等边三角形的三个顶点。心脏产生的电流，均匀地传到体腔。四肢作为传导部分，类似电线。肢体上任何一点电压，等于该肢体与躯干交接处的电压。

4. 电偶位于等边三角形中心，并与此三角形位于同一平面上。

在左右上肢及左下肢安放电极，构成三个标准导联。心脏综合电偶的通常极向是指向左下方，故左下定为导联的正侧。根据以上假设，可用图1.4来图介爱氏三角形学说。圆圈代表人体体腔，一十号为一对电偶，代表心脏，位于体腔中央。R、L、F分别代表右肩、左肩及左脚，三点均位于同一平面上，三点间距离( $r$ )相等。心脏的电激动产生电压( $v$ )，对肢体的影响是，某点电压大小与距离的平方成反比，与 $\theta$ 角的余弦( $\cos\theta$ )成正比。即：

$$L \text{ 点电压 } v_L = \frac{K \cdot \cos\theta}{r^2}$$

$$R \text{ 点电压 } v_R = \frac{K \cdot \cos(\theta + 120^\circ)}{r^2}$$

$$F \text{ 点电压 } v_F = \frac{K \cdot \cos(\theta + 240^\circ)}{r^2}$$

R、L、F三点分别相距 $120^\circ$ ，K系体液导电常数。

图1.4：爱氏三角形图介。

用标准 I、II、III 导联组成等边三角形，心脏位于等边三角形中心，以一对电偶来表示。在任何瞬间，电偶的强度及指向均可用量来表示，此向量在三角形三个边上的投影，分别用 $E_1$ 、 $E_2$ 及 $E_3$ 表示（图1.5）。

图1.5：心电向量在爱氏等边三角形上投影。连接右臂、左臂及左脚，形成爱氏等边三角形， $ox$ 代表心脏瞬间电动力，以向量形式画出， $o$ 为三角形中心点，心脏从此处激动。 $ox$ 向量投影于I导联上为 $E_1$ ，II导联上为 $E_2$ ，III导联上为 $E_3$ 。 $E_1$ 、 $E_2$ 及 $E_3$ 分别为每一导联上所纪

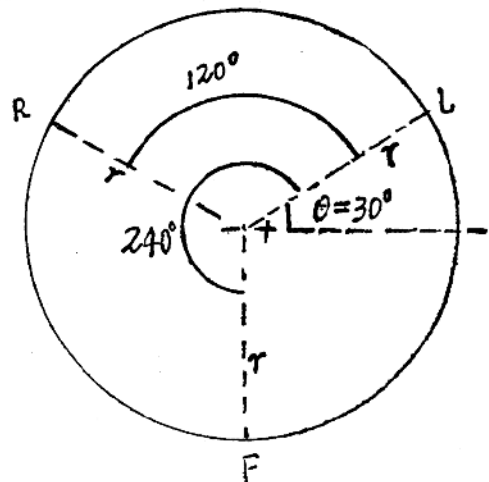


图 1.4

录的标量偏移值(Scalar deflection)。

根据爱氏三角形学说，电偶向量投影于某一导联上电位差(投影向量)的大小决定于 $\theta$ 角的余弦值。例如I导联的电位差， $E_1 = E \cdot \cos\theta$ ，II导联的电位差 $E_2 = E \cdot \cos(\theta - 60^\circ)$ ，III导联的电位差 $E_3 = E \cdot \cos(120^\circ - \theta)$ ，分别将I、II、III导联的三个导联轴，移至爱氏三角形中点，构成图1.6，有助于对以上公式的理解。

图1.6：ox代表心脏瞬间电动势，即E。每两个导联轴的夹角均等于 $60^\circ$ ，ox在三个导联轴上的投影，分别用 $E_1$ 、 $E_2$ 及 $E_3$ 表示。ox与I导联轴的交角为 $\theta$ ，与II导联轴的交角为 $\theta - 60^\circ$ 与III导联轴的交角为 $120^\circ - \theta$ 。

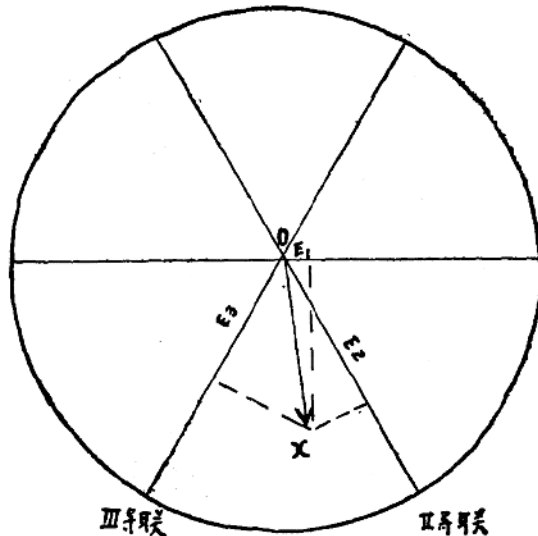


图 1.6

最大向量，即当电偶向量与该导联平行时，所获得的最大投影。如果爱氏三角形是正确的，电偶与I导联平行时，即电偶的方位为 $\pm 180^\circ \sim 0^\circ$ 时，投影向量应最大。同理，对II导联投影最大时，电偶方位应为 $+120^\circ \sim -60^\circ$ 。对III导联投影最大时，电偶方位应为 $+120^\circ \sim -60^\circ$ (图1.6)。爱氏三角形既是等边的，则电偶向量投影到三个导联上的最大向量应当相等。但经实测结果，当电偶方位与I导联平行时，反而描出一个低振幅波，而非高振幅波。当电偶方位与I导联垂直时，描出一个负向波，而非双向波。因此I导联的方位与爱氏三角形学说并不符合(图1.7A)。调节电偶方向，使之分别在I、II、III导联上得到最大向量。则此时电偶的所在方位(图1.7B中1、2、3的方位)，分别与I、II、III导联的真正方向相

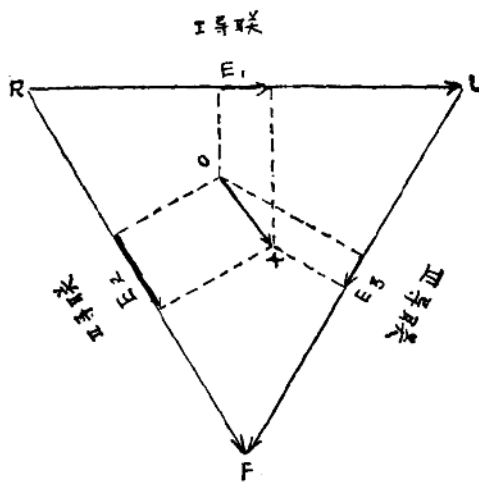


图 1.5

但是心脏并非位于体腔中心，与各肢体间的距离亦非相等，人体各组织导电性亦非均匀，躯体也不是无限大的结构。心脏与胸腔相比，是比较大的器官，不易用单一电偶表示，因此爱氏三角形学说并不完全切合实际情况。

Burger 及 Milaan 校正了爱氏三角形，他们在人体模型内，充满导电溶液，按心脏的真实位置，装置一个电源，代表心脏的电动势，用以了解此电动势对各导联的真实影响。在实验中，任意调节电源方向，以便在各导联上能纪录到

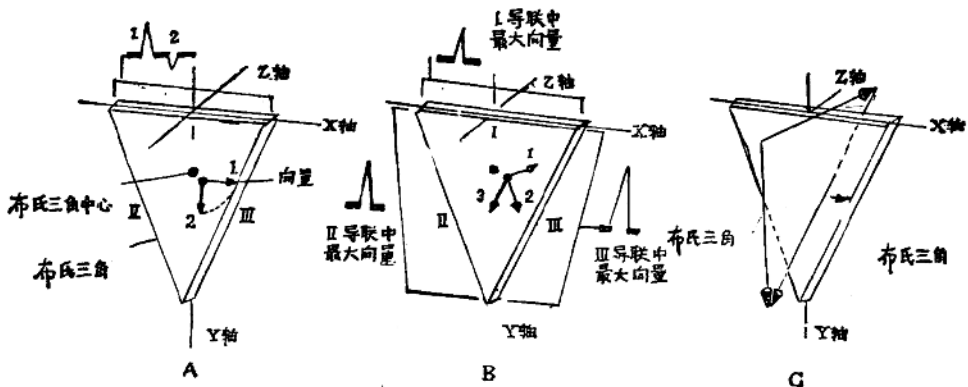


图 1.7

平行。相同的电偶强度，在Ⅰ、Ⅱ、Ⅲ导联轴上的最大投影并不相等，因此三个导联向量的相对长度或比重也不相等。根据三个导联的特定方向和其相对长度组成一个非等边三角形，称Burger三角形（图1.7C）。

图1.7：用人体模型和模拟的心脏电偶（放在心脏的真实位置上）实验示意图介。

Burger及Milaan的实验证明，三个导联上所获得的最大向量不等，其电位差  $L_1:L_2:L_3 = 1.0:1.8:2.2$ ，Ⅰ导联最小，Ⅲ导联最大。也即三个导联轴的长短不等，三角形三个边长度之比为  $L_1:L_2:L_3 = 1.0:1.8:2.2$ ，组成非等边三角形。在Ⅰ导联上获得最大向量的电偶方位不是与横轴平行，而是从左后上方到右前下方有一倾角。Burger三角形并不位于额面上，与额面尚有一个前上后下的偏差角（图1.8）。

图1.8：右臂、左臂及左足构成非等边三角形，即Burger三角形。

一如在图1.5中，心电向量位于三角形中心，代表瞬间电动势，投影到三角形的三个边上。在每一导联所纪录的标量偏转值，不仅决定于投影向量的大小，也决定于导联向量的大小。也就是说，同一心电向量对三个标准导联所产生的电位影响不同。如以Ⅲ导联的长度作为单位，投影向量在Ⅰ导联上的振幅是降低，降低系数等于Ⅰ导联的长度与Ⅲ导联的长度之比。同样，投影向量在Ⅱ导联上的振幅是增加，增加系数等于Ⅱ导联的长度与Ⅲ导联的长度之比。与Einthoven三角形不同，Burger三角形三个边是不等长的，位于三角形几何学中心的电偶，在任何瞬间内其强度及方向的改变，均可以向量来表示。当此电偶向量投影到三角形的每个边上，每个导联所纪录的标量偏转值并不等于投影的振幅。

在图1.8中，Ⅲ导联是任意指定作为长度单位，投影向量在此导联上的振幅等于实际所纪录的振幅。而Ⅰ导联所纪录的振幅，小于投影向量在该导联上的振幅。Ⅱ导联所纪录的振幅，则大于投影向量在该导联上的振幅。在Einthoven三角形投影向量不须要校正，因为三个边有相同的长度单位。在Burger三角形，纪录的标量偏移值的大小，不仅决定于投影向量的大

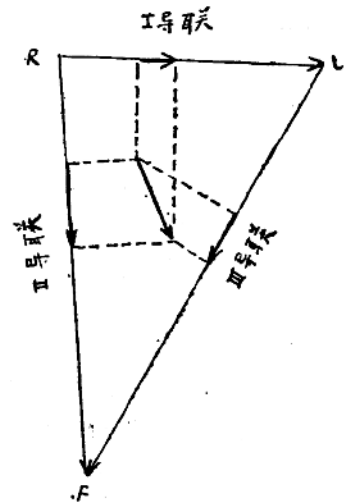


图 1.8

小，也决定于导联向量的大小。

$$E_1 = RL \cdot E \cos\theta$$

$$E_2 = RF \cdot E \cos\theta$$

$$E_3 = LF \cdot E \cos\theta$$

$E_1$ 、 $E_2$ 、 $E_3$ 分别代表 I、II、III 导联上的标量偏转值，而  $RL$ 、 $RF$ 、及  $LF$  分别为三个导联向量的相对长度。

### 三、导联向量及多导联向量概念

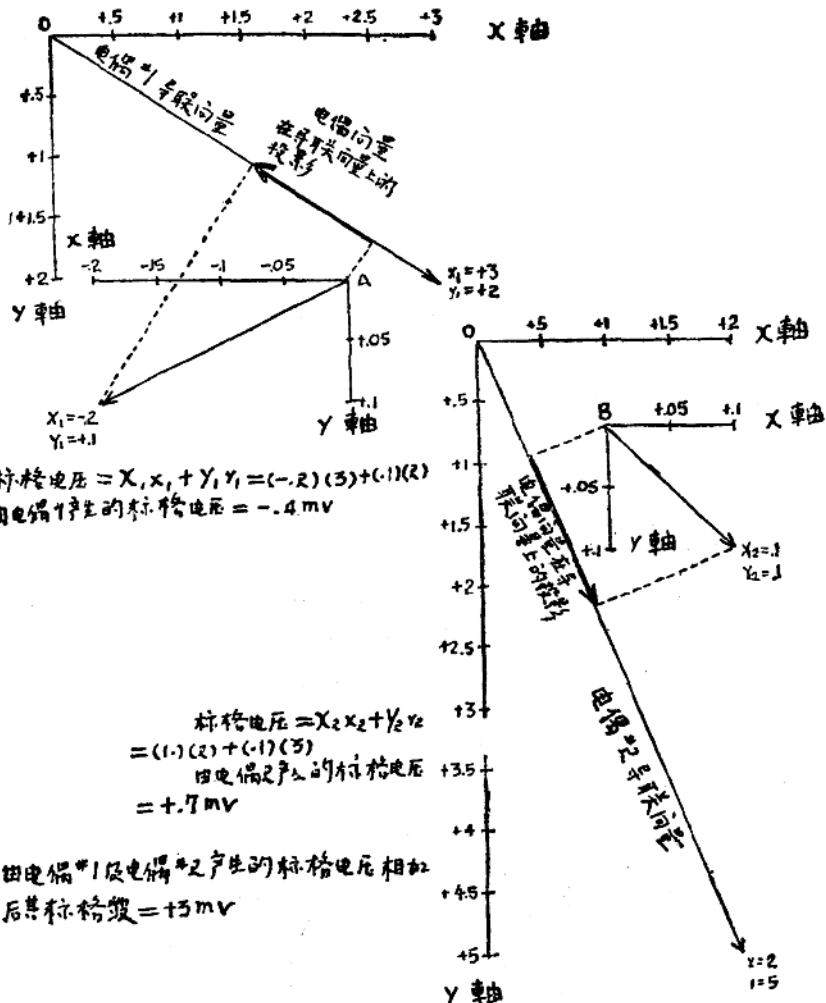
Burger 及 Milaan 提出导联向量(Lead Vector)概念，经校正后的导联，既有固定的方向，又有固定的长度，所以每个导联均可看作一个向量，称导联向量。类似的概念还有 Frank 影象向量(Frank's image vector)及 Schmitt 变换阻抗(Schmitt's transfer impedance)。导联向量通常用欧姆/厘米(ohms/cm)表示，也等于毫伏/毫安一厘米(Millevolts/milliamperemeter)。导联向量及电偶向量(以毫安一厘米表示)的乘积是一标量，用毫伏表示。

一些研究者在人体模型内安放电偶，测定导联向量。Frank 做了大量工作，他不仅在单一电偶躯体模型的表面上安放了许多测定点，还在有 71 个电偶躯体模型横切面的周边部分安放了 16 个测定点。考虑到个体之间的差异性，因此建立不同体型、不同年龄、不同性别的各种躯体模型，例如儿童、成人、男性及女性等，以获得比较完整的资料，很为必要。Burger 及 Van Milaan 早期所做的工作，也指出了对人体不规则的境界表面的解决办法。他们发现使用均质及非均质模型，所获得的结果相同。提示在额面上，组织的不均质性对修正躯体表面电位，不起重要作用。den Boer 使用新鲜尸体代替模型，研究的结果也相同。很多学者曾对不同组织的导电性做了测量，虽然对结果的解释有些矛盾，但对血液是人体最好的导体意见是一致的。心脏内血液对于改变心脏电位分布的影响，大概起很大作用。

考虑到心脏与人体相比，在比例上是相当大，特别是与胸腔的前后径及横径相比时。不同方位的电偶向量对同一导联来讲，其导联向量有明显的差别，故提出了多导联向量概念。Frank 在人体导电模型上，模拟心脏位置，在三个标定方位，放置三个电偶向量进行研究。对于同时发生的，位于不同部位的多个电偶向量(具有多导联向量的特点)如何进行综合，可以参考图 1.9 A 及 B。两个电偶是放在同一平面上，电偶 1 产生一电动势(图 1.9 A)，指向左下。电偶 2 产生一电动势(图 1.9 B)，指向右下。如果这两个电动势同时产生，它们在导联上将联合产生一个偏转，可用电流计纪录下来。两个电偶力可用适当方法进行综合，电偶 1 及电偶 2 对于要测定的导联，必然存在着不同的导联向量。每个导联向量都能由实验获得。在 A 点及 B 点各放一个大小均为 1 毫安一厘米的电偶。如果电偶 1 在 A 点是水平指向，测定由导联纪录的电压毫伏数就是电偶 1(A 点)导联向量的 X 成分，以欧姆/厘米表示。如果电偶 1 在 A 点是垂直指向，由导联纪录的电压毫伏数即为电偶 1 导联向量的 Y 成分。在图 1.9 A 中，X 及 Y 成分分别为 +3 及 +2 欧姆/厘米。用同样方法可以求出电偶 2(B 点)导联向量的 X 及 Y 成分，分别为 +2 及 +5 欧姆/厘米。

在图 1.9 中，电偶 1 及电偶 2 的电偶向量是分别投影于相应的导联向量上，以虚线表示投影，以粗黑线表示投影向量，每一电偶所产生的标量电压可用两种方法测定。

1. 第一种方法是导联向量长度(欧姆/厘米)乘以投影向量长度(毫安/厘米)。



以电偶 1 为例:  $3.61 \text{ 欧姆}/\text{厘米} \times -0.111 \text{ 毫安}/\text{厘米} = -0.4 \text{ 毫伏}.$

2. 第二种方法比较简便, 可使用以下公式求出。

$$\text{电偶 1 标量电压} = X_1x_1 + Y_1y_1$$

$x_1$  及  $y_1$  分别为图 1.9A 中电偶 1 导联向量的  $x$  及  $y$  成分, 分别为  $+3$  及  $+2 \text{ 欧姆}/\text{厘米}$ 。 $X_1$  及  $Y_1$  分别为电偶 1 电偶向量的  $X$  及  $Y$  成分, 分别为  $-0.2$  及  $+0.1 \text{ 毫安}/\text{厘米}$ 。故  $X_1x_1 + Y_1y_1 = (-0.2)(3) + (0.1)(2) = -0.6 + 0.2 = -0.4 \text{ 毫伏}$ 。用同样方法, 电偶 2 的标量电压  $= X_2x_2 + Y_2y_2 = (0.1)(2) + (0.1)(5) = 0.2 + 0.5 = +0.7 \text{ 毫伏}$ 。考虑到电偶 1 及电偶 2 是同时产生了它们各自的电动势, 由导联所纪录到的标量偏转值, 是由两个电偶所产生的标量电压的代数和, 即  $(-0.4) + (+0.7) = +0.3 \text{ 毫伏}$ 。

图 1.9: 详见书中解释。X 及 Y 的单位以毫安—厘米表示,  $x$  及  $y$  的单位以欧姆/厘米表示, 两者的乘积 ( $\text{mA} \cdot \text{cm}$ ) ( $\text{ohm}/\text{cm}$ ) 等于毫伏。

多个电偶的处理比较复杂, 仅使用两个电偶时, 它所产生的电动势, 可以指向三个平面

所构成的八个空间方位的任何方向，每个电偶向量均有x、y、z三个成分（二个平面和三个平面是一致的，均包含三个成分）。所以就每个电偶来讲，对每一给定的导联，均存在一个特定的导联向量，每个导联向量均可从实验获得。多个空间导联向量中的每一个均能以它的x、y及z成分表示。每一电偶向量所产生的标量电压均可由 $Xx+Yy+Zz$ 计算获得，最后将每一电偶所产生的标量电压作代数相加，其结果就是由导联上纪录得到的，同时作用的多电偶综合标量电压。

以上的概念符合心脏的真实情况，心脏不能用一点状发电机，也就是不能用一个单一的电偶来代表，而宁可用几乎无限多的空间指向的电偶来代表。这些电偶来自心肌的不同部位，分别产生电动势。对于这些电偶，同样也存在着几乎无限多的导联向量。假定如果在每一瞬间能保持相对恒定，也同样可以采用代数相加的方法，得到瞬间标量电压。但由于心脏收缩的机械运动，脉搏的搏动性和组织导电性能的改变，实际上的瞬间恒定是不存在的，只有瞬间相对恒定的理论概念。

多个电偶向量使用平行四边形对角线原理，可以得到一个简单的综合向量。在图1.10左下方图中，表示此种方法。假定电偶1及电偶2是来自同一点，将电偶1及电偶2的导联向量，以平行四边形对角线原则（图中用虚线画出平行四边形的两个边），可得到综合电偶向量。此综合电偶向量，也可用 $X_1+X_2$ 及 $Y_1+Y_2$ 求出，即分别将两个电偶向量的X成分及Y成分相加。 $X_1+X_2=(-.2)+(+.1)=-.1$ ,  $Y_1+Y_2=(+.1)+(+.1)=+.2$ ，获得的综合

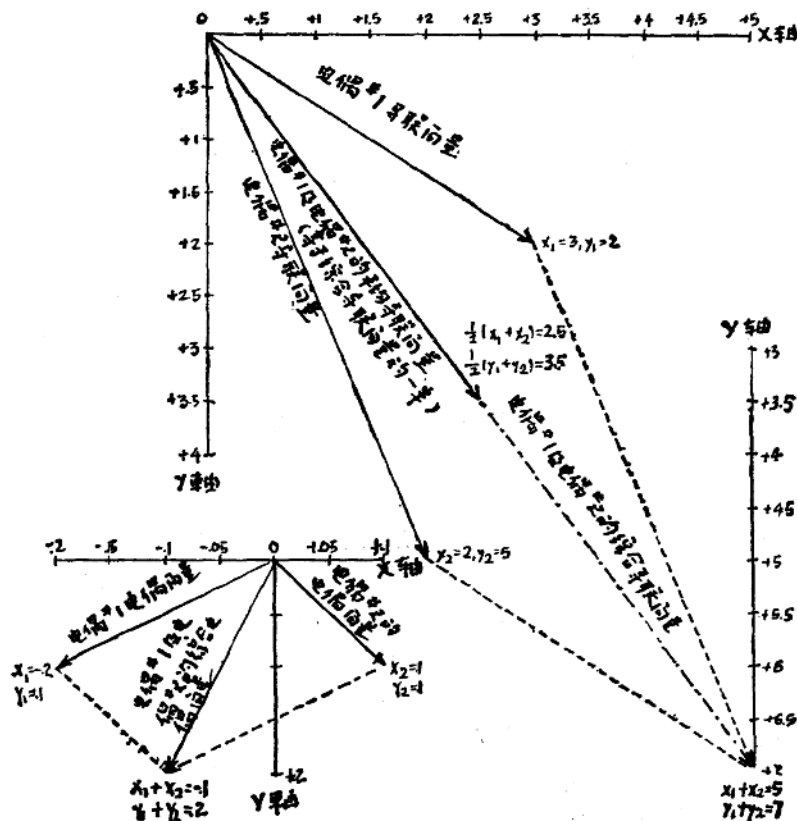


图 1.10

成分分别为 $-0.1$ 及 $+0.2\text{mA-Cm}$ 。至于图1.9中A点及B点两个导联向量的综合，也可用平行四边形绘图法或导联向量成分相加法得到。在图1.10的右上方图中，无论采用那一种方法，所产生的X及Y成分均为5及7欧姆/厘米。例如用平行四边形法，图中X成分为5欧姆/厘米，Y成分为7欧姆/厘米。用导联向量成分相加法 $X_1+X_2=3+2=5$ ,  $Y_1+Y_2=2+5=7$ ，结果相同。平均导联向量为综合导联向量除形成合力的导联数目，本例导联数目为2，用综合导联向量除2，即平行四边形对角线的二分之一等于平均导联向量。平均导联向量的X及Y成分分别为综合导联向量X及Y成分的一半，即2.5及3.5欧姆/厘米。在图1.10中，平均导联向量用实线表示，综合导联向量的其余部分以交替的点状线及破折号表示。

图1.10：详见书中解释。X及Y的单位以毫安—厘米表示，x及y的单位以欧姆/厘米表示，两者的乘积( $\text{mA-cm}$ )( $\text{ohm/cm}$ )为毫伏。

在图1.11中，将图1.10中电偶1及电偶2的综合电偶向量以及对这些电偶部位的平均导联向量，一一画出。由综合电偶向量产生的标量波，既可从综合电偶向量投影到平均导联向量上的长度来决定，也可以相应的水平及垂直成分，按 $Xx+Yy$ 的公式来决定。即综合电偶向量X成分乘平均导联向量的x成分加综合电偶向量的Y成分乘平均导联向量的y成分。在图1.11中， $Xx+Yy=(-.1)(2.5)+(.2)(3.5)=-.25+.7=+.45\text{mv}$ 。此数值与图1.9的结果 $+0.3\text{mv}$ 有明显的差别，这一矛盾是因为我们把多个电偶向量的总和形成单一的综合电偶。这些电偶对于纪录导联并不提供相同的电压，其原因不仅在于电偶的强度及方向间存在着差异，而且在于导联向量方面也存在着差异。后者是由多种因素决定的，例如电偶位置、组织的不均质性及容积导体境界表面的不规则性等。

图1.11：详见书中解释。X及Y的单位是毫安—厘米，x及y的单位是欧姆/厘米，两者的乘积( $\text{mA-cm}$ )( $\text{ohm/cm}$ )为毫伏。

几乎无限多的心肌细胞发生几乎无限多的电偶向量，这些数量众多的电偶电动势如何简化？如果多导联的导联向量，在振幅及方向方面对于每一个位于心肌组织内的电偶部位均一致时，则整个心脏对于导联来说，从电功能上来看是一个单一的电偶。图1.12为Frank所研究的躯体模型横切面图，从横切面前正中点E及后正中点M作一导联，构成解剖学上的前

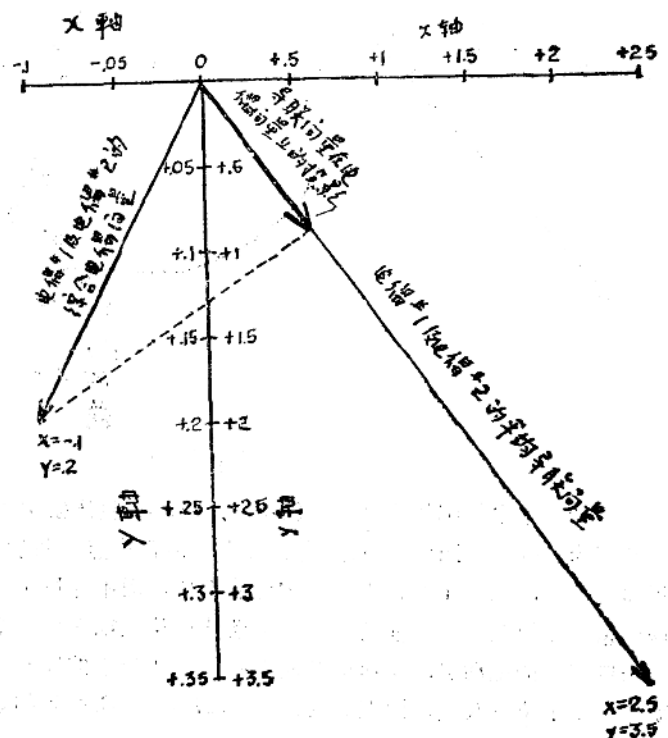


图 1.11 合成电偶向量

后轴。在躯体模型上，模拟心脏位置，放置编号为00, 38及83的三个特定的电偶，具有一定方位及间距，三个箭矢分别代表三个标定的电偶对EM导联所产生的导联向量。可以看出此三个导联向量，在振幅及方向方面，是明显的不同。

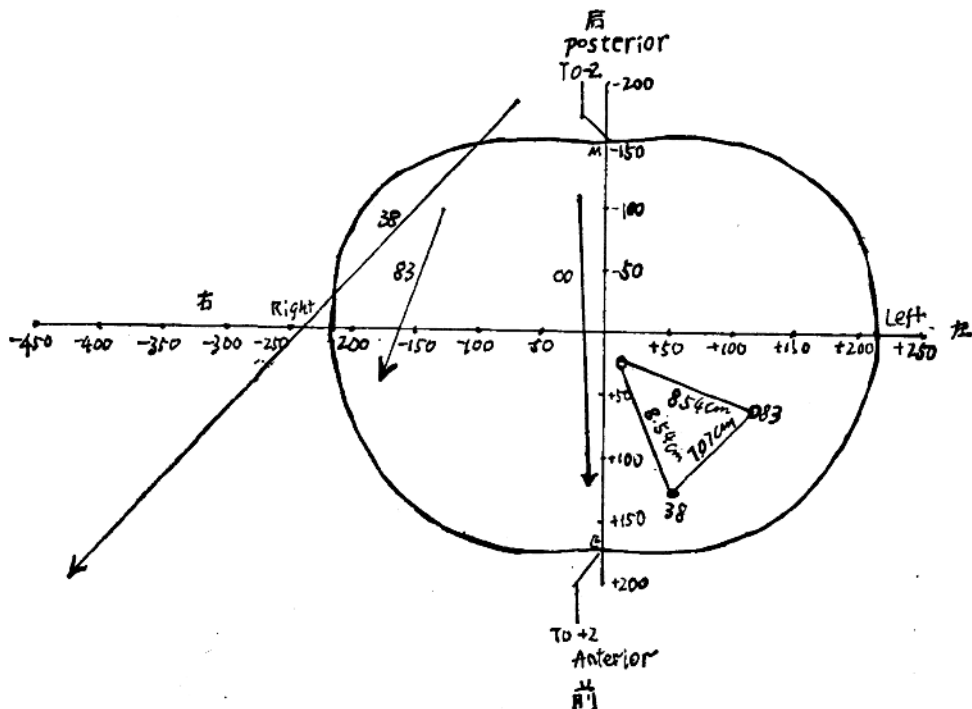


图 1.12

图1.12:3个电偶编号为00,83及38位于Frank 躯体模型的横切面上。水平宽度为33cm, 前后宽度为25cm, 三个电偶间距离已标出。前正中点E及后正中点M组成EM导联, 导联向量用箭矢表示, 每一个均标以相应的电偶部位, 图中标量是Frank所规定的任意单位。三个导联向量在振幅及方向上显著不同。电动势的位置如发生改变时, 可使导联向量明显不同。例如来自点38的电动势, 呈向前及向右指向其所产生的导联向量很大。而位于点83处的同等电动势, 由于位置改变, 距点38约7cm(7.07cm), 所产生的导联向量很小。前者约为后者的4倍。

由于部位不同, 几乎无限多的电偶向量, 对同一导联可产生几乎无限多的导联向量, 图1、12中以3个为例。Frank针对不同部位电偶, 对某一导联其方位及电阻阻值不同, 从而造成了不同的导联向量这一情况。在实验模型的横切面上, 选择许多点, 串以不同的电阻后, 联成电阻网, 分别与E及M点相连接, 各电阻值是按实验结果经过计算而设计的, 电阻值及各点的位置见图1、13。三个电偶00, 83及38的放置位置同图1、12。经过这样联结后, 00, 83及38三个点对EM导联就产生完全相同的导联向量。

图1.13:一如在图1.12, 三个电偶00, 83及38放置于Frank模型的横切面, 模拟正常的心脏位置。通过与各有关点联接电阻, 组成电阻网, 再与心电图机上电流计的电极相联接。由于体表上的各个点经过了适当选择, 同时从实验中计算出各个电阻的适当数值。因此导联向

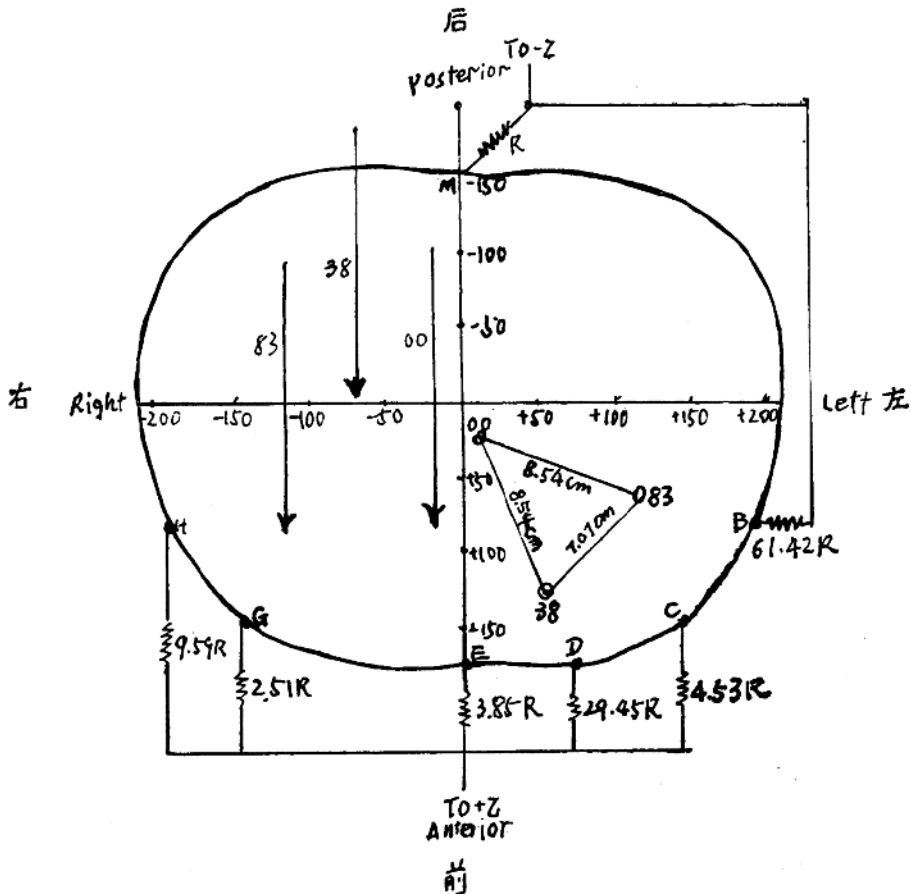


图 1.13

量不仅在方向上是严格的前后向，在振幅上对三个电偶也是完全相同。经过这样联接后，三个电偶对EM导联就产生完全相同的导联向量。这就使心脏内无限多的电偶向量变成了单一的电偶向量。

尽管Frank从实验模型所获得的资料不同于人体，而人体的各个个体之间也存在着差异。但这一研究结果，使得设计一套更接近人体真实情况的导联体系，在理论上及方法上得到了启示。以上所述多导联向量概念，提供了综合及分析导联的理想方法。

## 第二章 心电向量图的导联体系

### 一、一般概念

心电向量图理想的导联体系，必须包括三个具有以下特点的导联。

1. 三个导联必须互相垂直，且每一导联必须与人体上相应的轴相平行。这些轴包括横轴又称X轴或左右轴，纵轴亦称Y轴或上下轴，矢状轴亦称Z轴或前后轴。
2. 心电向量在这三个导联上所显示的振幅必须相等。
3. 要求三个导联的导联向量，不仅其振幅相等，且须与心脏内某一单一的点互相垂直，并对心脏内所有产生电动活力的各点来说，均保持相同的振幅及方向。

心电向量图导联具有以上第一条及第二条的特点称直交导联(orthogonal leads)。如果还具有第三条特点，则称校正直交导联(Corrected orthogonal leads)。

某些导联体系，例如四面体(tetrahedron)、立方体(cube)、直线三面体(rectilinear trihedron)即双立方体(double cube)，从解剖意义上说是接近直交的，但在电学意义上并非直交，因此不适用Burger及van Milaan的导联向量概念。心电向量图的导联体系有二十多种，50年代多采用Grishmann立方体系，现多采用Frank 7电极体系(seven-electrode system)。现将较常用的导联体系介绍如下：

- 一、直交导联体系：包括等边四边体体系，立方体体系等。
- 二、校正直交导联体系：包括Frank导联体系，McFee及Parungao轴体系，Schmitt及Simonson导联体系等。

### 二、直交导联体系

1. 等边四面体体系(equilateral tetrahedron system)：是1947年Wilson, Johnston及Koss-mann等根据Einthoven三角形概念设计的，1953年Burch, Abildskov及Cronvich等首先用于临床。他们假定心脏位于一个四面体的中心，以Einthoven三角形作为等边四面体的底。共用四个电极，三个电极分别放在右臂、左臂及左足用R、L及F代表，第四个电极用B代表，放在背部第七胸椎水平左侧2厘米处，作为四面体的顶端(图2.1)。心脏与等边四面体各顶点之间的距离相等。用四个电极组成三个导联，在解剖上接近垂直。这三个导联为I、avF及V<sub>B</sub>导联。I及avF导联与心电图相同，V<sub>B</sub>导联代表背部电极与Wilson中心电站之间的电位差。I和avF导联构成额面，V<sub>B</sub>和I导联构成横面，V<sub>B</sub>和avF导联构成侧面。等边四面体体系操作简便，且仍沿用心电图概念，仅多加了一个V<sub>B</sub>导联，所得图形与心电图可相对照。但是这种体系是基于Einthoven三角形学说所设计的。既然Einthoven三角形学说存在着很多缺点，因此这个导联体系就失去了理论上的支持。

图2.1：等边四面体体系电极的安放部位。

两种形式的四面体曾经应用(见图2.2及图2.3)，图2.2为等边四面体，在理论上，四

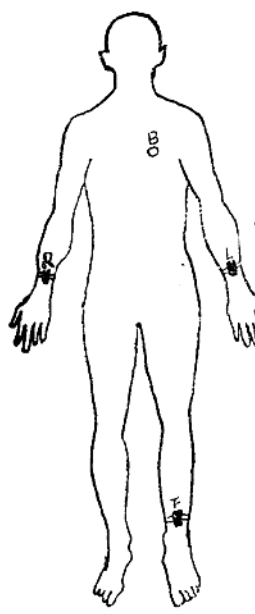


图 2.1

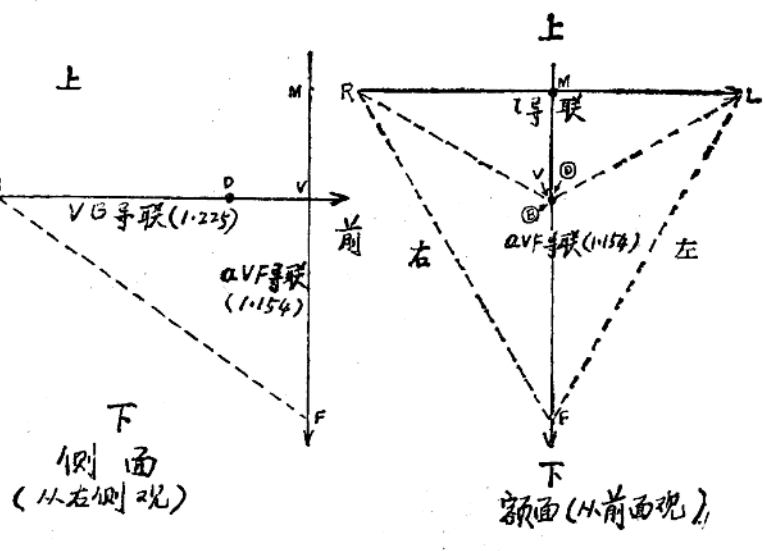


图 2.2

面体的四个面是相等的等边三角形。为了绘出此图， $\text{avF}$  导联须乘以  $\frac{2}{3}\sqrt{3}$  或 1.154 这一校正系数， $V_B$  导联须乘以  $\sqrt{3}/2$  或 1.225 这一校正系数， $I$  导联仍保持其原来的基数，不须校正。

图2.2：wilson等边四面体体系。心脏电偶中心(D)与等边四面体各顶点之间的距离相等，即D与R、L、F及B电极之间的距离相等。wilson中心电站(V)位于额面，与D点的位置不同。

等腰四面体在额面上，wilson中心电站(V)与四面体的四个顶点之间的距离相等。为绘出此图形， $V_B$  导联须乘以系数  $\sqrt{3}$  或 1.732 校正之，而 I 及  $\text{avF}$  导联的校正系数则与等边四面体中相同。因此四面体体系提供了三个在解剖上互相正交的导联，采用校正系数校正后，它们是等值的。Burch等曾广泛应用于等边四面体导联体系。等腰四面体的情况详见图2.3。

图2.3：等腰四面体。假定wilson中心电站(V)和心脏电偶中心(D)在额面上位置相同。D点及V点与四面体的顶点等距离， $\text{avF}$  及  $V_B$  导联分别乘以校正系数 1.154 及 1.732，I 导联不变，仍保持其原来的基数。

虽然四面体的三个导联在解剖上是正交的，但从电学观点来看，并非正交。在图2.4中引用Frank所发表的关于四面体导联导联向量资料，四面体的电学图形与解剖图形之间的差别很明显。

图2.4：按照Frank所发表的资料，图示四面体电极的空间位置。实线代表 I、 $\text{avF}$  及  $V_B$  导联，可与这些导联在图2.2及图2.3中相应的实线对比，差别是明显的。从电学意义上来看，四面体导联既不直交，也不等长。 $V$  代表中心电站，它与 D 点的位置不一，D 代表电偶的位置，M 代表 I 导联的中点。

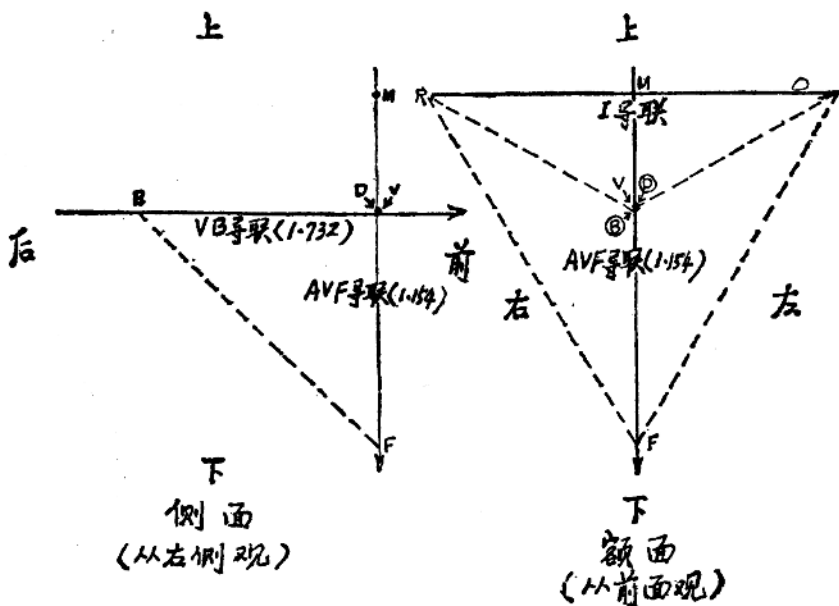


图 2.3

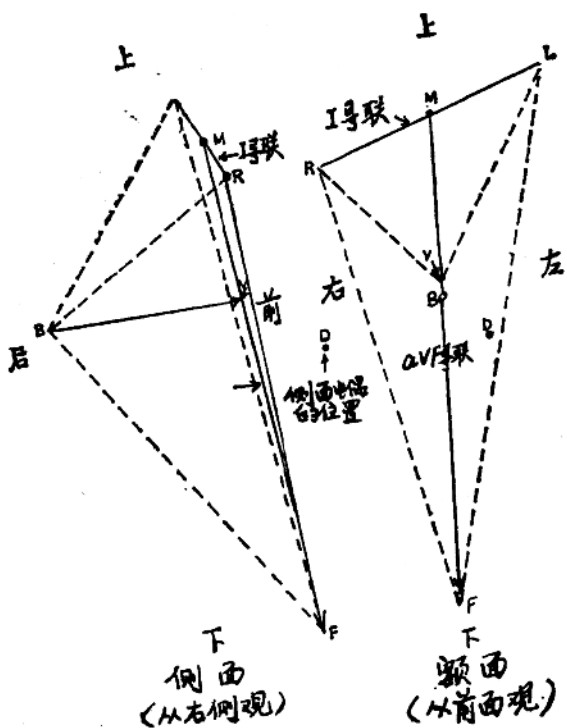


图 2.4

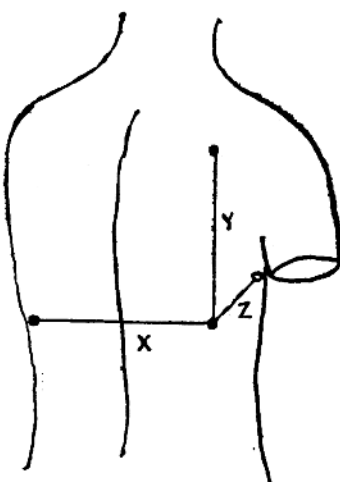


图 2.5